

Министерство транспорта Российской Федерации  
Федеральное агентство железнодорожного транспорта  
ГОУ ВПО «Дальневосточный государственный  
университет путей сообщения»

Кафедра «Детали машин»

В.В. Дрыгин, Ю.В. Козерод

**ПЕРЕДАЧИ ЧЕРВЯЧНЫЕ ЦИЛИНДРИЧЕСКИЕ**  
Расчет и проектирование

Методическое пособие  
к курсовому проектированию

Хабаровск  
Издательство ДВГУПС  
2005

УДК 621.833.38 (075.8)  
ББК К 445.56  
Д 769

Рецензент:

Кафедра «Детали машин»  
Хабаровского государственного технического университета  
(заведующий кафедрой кандидат технических наук, доцент  
*Фейгин А.В.*)

**Дрыгин, В. В.**

**Д 769** Передачи червячные цилиндрические. Расчет и проектирование. – Изд. 2-е, доп. и перераб. : метод. пособие / В. В. Дрыгин, Ю. В. Козерод. – Хабаровск : Изд-во ДВГУПС, 2005. – 34 с.

Методическое пособие соответствует государственному образовательному стандарту направлений 190300 «Подвижной состав железных дорог» и 190200 «Транспортные машины и транспортно – технологические комплексы» обучения студентов по дисциплине «Детали машин и основы конструирования».

Рассмотрены вопросы прочностной надежности червячных передач. Главное внимание уделено расчету червячных цилиндрических передач на прочность, износостойкость и теплостойкость. Приводятся необходимые справочные материалы. Даны рекомендации по проектированию деталей передач.

Предназначено для студентов специальностей: 190302 «Вагоны», 190301 «Локомотивы», 140606 «Электрический транспорт» и 190205 «Подъемно-транспортные, дорожные, строительные машины и оборудование».

**УДК 621.833.38 (075.8)**  
**ББК К 445.56**

© ГОУ ВПО «Дальневосточный государственный  
университет путей сообщения» (ДВГУПС), 2005

## ВВЕДЕНИЕ

Червячное зацепление относится к числу зубчато-винтового и применяется в большинстве случаев для снижения скорости и передачи движения между перекрещивающимися валами.

Основными достоинствами червячной передачи являются возможность получения в одной червячной паре большого передаточного числа, точных делительных перемещений, а также плавность, бесшумность работы.

Недостатки большинства червячных передач: низкий КПД, который ведет к большому тепловыделению, необходимость применения для червячных колес дорогостоящих антифрикционных материалов.

Наибольшее распространение получили червячные передачи с цилиндрическими червяками. В зависимости от формы профиля витков цилиндрического червяка различают передачи с архимедовым ZA, конволютным ZN, эвольвентным ZI и другими червяками. Форма профиля червяка при одинаковом качестве изготовления мало влияет на работоспособность передачи. Выбор профиля определяется преимущественно технологическими факторами.

## 1. ИСХОДНЫЕ ДАННЫЕ

В качестве исходных данных при проектировании червячных передач задается расчетная мощность  $P_2$  на валу червячного колеса в кВт; частота его вращения  $n_2$ , мин<sup>-1</sup>; требуемое передаточное число –  $i$ ; ресурс передачи -  $L_h$ , час; режим работы. Для наиболее распространенных переменных режимов эксплуатации передач задается закон изменения крутящего момента  $T_2$  на валу колеса по времени в виде циклограммы (рис. 1), где  $k_i = (T_{2i} / T_2)$  – коэффициент уровня нагрузки по отношению к максимальной длительно действующей ( $T_2$ ), продолжительность действия которой составляет более 3 % суммарного времени работы  $L_h$ ;  $t_i = \alpha_i \cdot L_h$  – время работы передачи с заданным уровнем нагрузки;  $\alpha_i$  – доля времени работы с этим уровнем нагрузки.

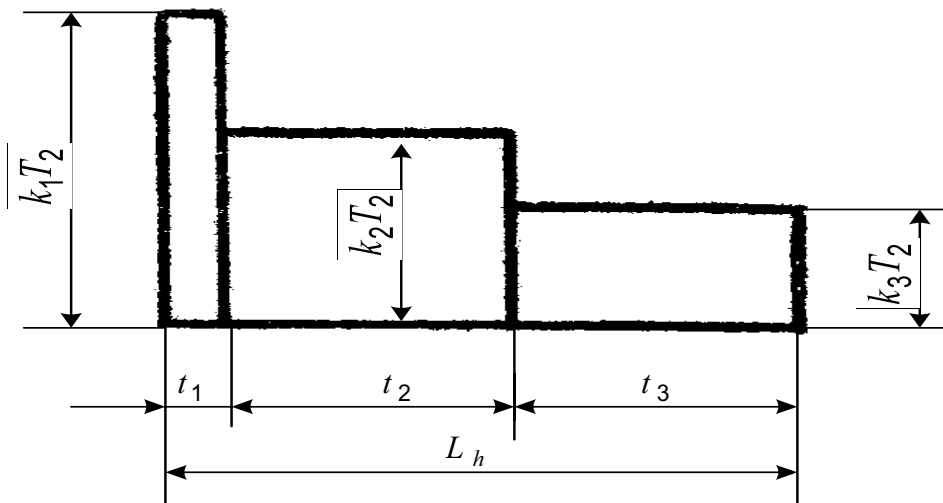


Рис. 1. Циклограмма нагрузки на червячном колесе

## 2. ОСНОВНЫЕ ПАРАМЕТРЫ ЧЕРВЯЧНОЙ ПЕРЕДАЧИ

### 2.1. Передаточное число

Действительное передаточное число червячной передачи

$$u' = n_1 / n_2 = z_2 / z_1, \quad (1)$$

где  $n_1$  – частота вращения вала червяка, мин<sup>-1</sup>;  $z_1$  – число заходов червяка;  $z_2$  – число зубьев червячного колеса.

Отклонение передаточного числа  $\Delta u$  спроектированной передачи от требуемого не должно превышать 4%:

$$\Delta u = \left| \frac{u - u'}{u} \cdot 100 \right| \leq 4 \%. \quad (2)$$

В силовых передачах наиболее распространены передаточные числа  $u$  от 8 до 80; в отдельных случаях (в кинематических передачах)  $u$  достигает 1000. Передаточное число червячных редукторов стандартизовано по ГОСТ 2144-93 [1] (см. табл. 1). Для передач индивидуального производства это условие не обязательно.

*Таблица 1*  
Передаточные числа червячных редукторов

|     |       |   |      |      |    |      |    |      |    |    |    |    |
|-----|-------|---|------|------|----|------|----|------|----|----|----|----|
| $u$ | 1 ряд | 8 | 10   | 12,5 | 16 | 20   | 25 | 31,5 | 40 | 50 | 63 | 80 |
|     | 2 ряд | 9 | 11,2 | 14   | 18 | 22,4 | 28 | 35,5 | 45 | 56 | 71 |    |

## 2.2. Число заходов червяка

Увеличение числа заходов червяка  $z_1$  повышает КПД червячной пары, но усложняет технологию ее изготовления и увеличивает габариты передачи. Число заходов червяка для силовых передач назначают в зависимости от передаточного числа:  $z_1 = 4$  при  $u = 8 \dots 15$ ;  $z_1 = 2$  при  $u = 15 \dots 30$ ;  $z_1 = 1$  при  $u > 30$ ;  $z_1 = 3$  стандартом не предусмотрено.

## 2.3. Число зубьев червячного колеса

Число зубьев червячного колеса определяется по формуле

$$z_2 = z_1 \cdot u . \quad (3)$$

При больших передаточных числах получают большое число зубьев  $z_2$  и, как следствие, большое расстояние между опорами червяка, что уменьшает его жесткость и приводит к большой деформации вала.

Минимальное число зубьев колес  $z_{2\min}$  во вспомогательных кинематических цепях при однозаходном червяке принимают из условия неподрезания ножки зуба  $z_{2\min} = 17 \dots 18$ ; в силовых передачах  $z_{2\min} = 26 \dots 28$ . Оптимальное число зубьев  $z_2 = 32 \dots 63$  (не более 80).

## 2.4. Коэффициент полезного действия $\eta$

КПД червячных передач ниже, чем других механических передач. Начиная проектный расчет передачи, можно ориентировочно принять

$$\eta \approx 0,9 (1 - u / 200) \quad (4)$$

или по рекомендации табл. 2

Таблица 2

Ориентировочное значение КПД червячных редукторов

| Число заходов<br>червяка $z_1$        | 1             | 2             | (3)           | 4            |
|---------------------------------------|---------------|---------------|---------------|--------------|
| $\eta' = \eta_3 \eta_0 \eta_p \eta_e$ | 0,70 ... 0,75 | 0,75 ... 0,83 | 0,82 ... 0,87 | 0,87 ... 0,9 |

Примечание.  $\eta_3$ ,  $\eta_0$ ,  $\eta_p$ ,  $\eta_e$  – коэффициенты, учитывающие соответственно потери мощности в зацеплении, опорах, на разбрзгивание и размешивание смазки и на привод вентилятора (если он предусмотрен конструкцией).

## 2.5. Геометрия червячной передачи

Основными параметрами передачи с цилиндрическим червяком [2], регламентированными ГОСТ 19650-74 и определяющими ее размеры, являются: осевой модуль –  $m$ ; число витков (заходов) червяка –  $z_1$ ; число зубьев колеса –  $z_2$ ; коэффициент диаметра червяка –  $q$ .

Так как увеличение  $q$  приводит к уменьшению КПД, а уменьшение – к падению изгибной жесткости червяка, рекомендуется принимать в силовых передачах

$$q \approx (0,212 \dots 0,250) z_2 . \quad (5)$$

Червячные колеса нарезают инструментом, являющимся по форме аналогом червяка. Только фреза для нарезки червячного колеса имеет режущие кромки и наружный диаметр больше на двойной размер радиального зазора в зацеплении. В целях унификации зубообрабатывающего инструмента значения коэффициента диаметра червяка  $q$  и модуля  $m$  стандартизованы ГОСТ 19672-74 [3] (см. табл. 1.3).

Межосевое расстояние передачи  $a_w$  определяют расчетом по соответствующему критерию работоспособности (см. раздел 4) и принимают для стандартных редукторов по ГОСТ 2144-93 (см. табл. 4), а для редукторов индивидуального производства – из ряда  $R_a$  40 ГОСТ 6636-69: 56; 60; 63; 71; 75; 80; 85; 90; 95; 100; 105; 110; 115; 120 и далее через 10 до 260 и через 20 до 420 мм.

Таблица 3

Значения коэффициентов диаметра червяка  $q$   
(ГОСТ 19672-74, ГОСТ 2144-93)

|     |       |     |   |      |      |    |      |
|-----|-------|-----|---|------|------|----|------|
| $q$ | 1 ряд | 6,3 | 8 | 10   | 12,5 | 16 | 20   |
|     | 2 ряд | 7,1 | 9 | 11,2 | 14   | 18 | 22,4 |

Таблица 4

Межосевые расстояния  $a_w$  стандартных редукторов (ГОСТ 2144-93)

|       |       |    |    |    |    |     |     |     |     |     |     |     |
|-------|-------|----|----|----|----|-----|-----|-----|-----|-----|-----|-----|
| $a_w$ | 1 ряд | 40 | 50 | 63 | 80 | 100 | 125 | 160 | 200 | 250 | 315 | 400 |
|       | 2 ряд |    |    |    |    |     | 140 | 180 | 225 | 280 | 355 | 450 |

Ориентировочное значение осевого модуля

$$m' = 2a_w / (q + z_2) . \quad (6)$$

Окончательный выбор значений  $m$ ,  $q$  и  $z_1$  согласовывают по ГОСТ 2144-93 (см. табл. 5).

Таблица 5

Рекомендуемые сочетания значений модуля, коэффициентов диаметра червяка и числа заходов червяка

| Рекомендуемые сочетания         |                               |         | Допускаемые сочетания |               |              |
|---------------------------------|-------------------------------|---------|-----------------------|---------------|--------------|
| $m$ , мм                        | $q$                           | $z_1$   | $m$ , мм              | $q$           | $z_1$        |
| 2,0; 2,5;<br>3,15;<br>4,0; 5,0; | 8; 10; 12,5;<br>16; 20        | 1; 2; 4 | 2                     | 12            | 1; 2; 4      |
|                                 |                               |         | 2,5                   | 12            |              |
|                                 |                               |         | 3                     | 10; 12        |              |
| 6,3                             | 8; 10; 12,5;<br>14; 16;<br>20 | 1; 2; 4 | 3,5                   | 10;<br>12; 14 | 1            |
|                                 |                               |         | 4                     | 9; 12         | 1; 2; 4<br>1 |
| 8,0; 10;<br>12,5                | 8; 10;<br>12,5; 16; 20        | 1; 2; 4 | 6                     | 9; 12         | 1; 2; 4      |
|                                 |                               |         | 7                     | 12            |              |
| 16                              | 8; 10; 12,5;<br>16            | 1; 2; 4 | 12                    | 10            | 1; 2         |
|                                 |                               |         | 14                    | 8             | 2            |
| 20                              | 8; 10                         |         |                       |               |              |

Отступление от стандартных значений  $m$ ,  $q$ ,  $z_1$ , допускается в открытых передачах и при проектировании самотормозящих червячных передач.

При выбранных значениях  $m$  и  $q$  действительное межосевое расстояние  $a_w$  в общем случае может не соответствовать ранее принятому. Для «вписывания» в стандартное  $a_w$  (в целях унификации корпусных деталей) червячную передачу выполняют со смещением. Коэффициент смещения  $X$  исходного контура

$$X = [a_w - 0,5 m (q + z_2)] / m . \quad (7)$$

По условию неподрезания и незаострения зубьев колеса значение коэффициента смещения должно находиться в пределах:

$$-1 \leq X \leq +1.$$

Если это условие не выполняется, то следует варьировать значениями  $q$  и  $z_2$ . При этом  $z_2$  рекомендуется увеличивать или уменьшать на 1, 2 зуба, чтобы не превысить допускаемое отклонение передаточного числа  $\Delta u \leq 4\%$  и значение  $q$  в пределах, указанных в (5).

Для назначенных основных параметрах геометрические размеры элементов зацепления передачи (рис. 2) определяют по формулам, приведенными в табл. 6.

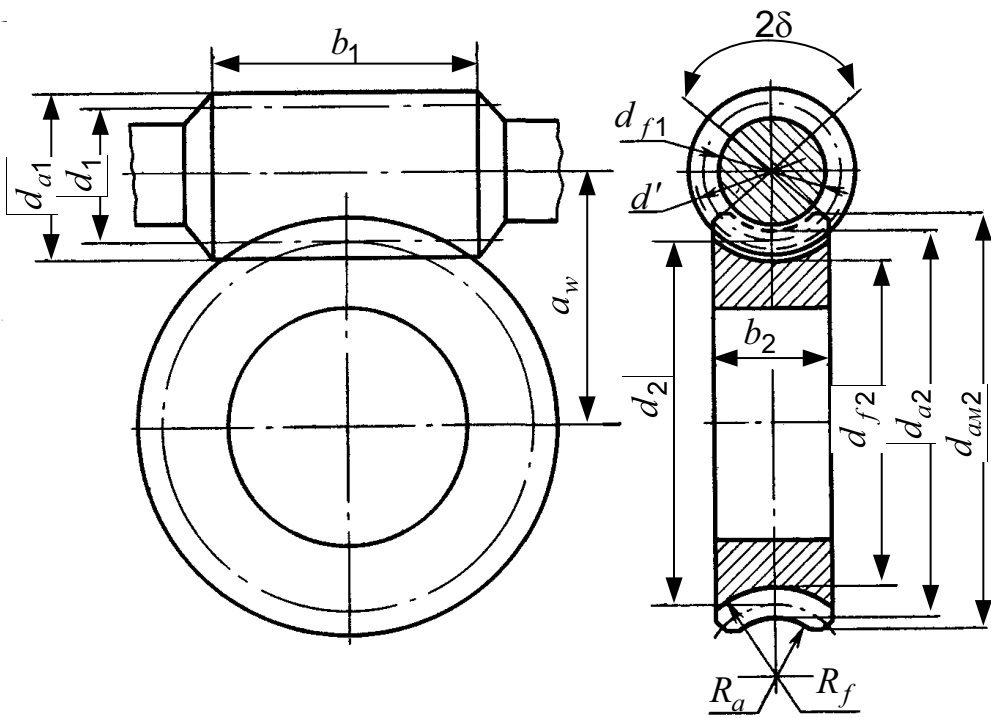


Рис. 2. Геометрические параметры червячной передачи

**Таблица 6**  
Геометрические параметры червячной передачи

| Наименование                          | Расчетная формула  |
|---------------------------------------|--|
| <b>Червяк</b>                         |  |
| Делительный диаметр                   | $d_1 = qm$   |
| Начальный диаметр                     | $d_{w1} = m(q + 2x)$   |
| Диаметр вершин витков                 | $d_{a1} = d_1 + 2m$  |
| Диаметр впадин витков                 | $d_{f1} = d_1 - 2,4m$  |
| Длина нарезанной части червяка        | $b_1 = (10 + 5,5 x  + z_1)m + c,$<br>где $c = 0$ при $x \leq 0$ ; $c = 100m/z_2$ при $x > 0$ |
| Делительный угол подъема линии витков | $\gamma = \arctg(z_1/q)$   |
| <b>Венец червячного колеса</b>        |  |
| Делительный диаметр                   | $d_2 = d_{w2} = mz_2$  |
| Диаметр вершин зубьев                 | $d_{a2} = d_2 + 2m(1 + x)$   |
| Наибольший диаметр колеса             | $d_{am2} \leq d_{a2} + 6m/(z_1 + 2)$   |
| Диаметр впадин зубьев                 | $d_{f2} = d_2 - 2m(1,2 - x)$   |
| Ширина венца                          | $b_2 = 0,355a_w$ при $z_1 = 1; 2$<br>$b_2 = 0,315a_w$ при $z_1 = 4$                          |

| Наименование                                | Расчетная формула                           |
|---|---|
| Радиусы закругления зубьев                  | $R_a = 0,5d_1 - m$<br>$R_f = 0,5d_1 + 1,2m$ |
| Условный угол обхвата червяка венцом колеса | $2\delta = 2\arcsin [b_2/(d_{a1} - 0,5m)]$  |

## 2.6. Точность изготовления

Нормы точности червячных цилиндрических передач регламентированы ГОСТ 3675-81, который предусматривает 12 степеней точности. Степени точности 3...6 рекомендуют для передач высокой кинематической точности, а 7...9 – для силовых передач (см. табл. 7).

Червячные передачи более чувствительны к погрешностям монтажа. Осевое смещение червячного колеса и небольшие изменения межосевого расстояния существенно влияют на характер распределения нагрузки по длине зуба. Поэтому устанавливают более жесткие допуски на межосевое расстояние и положение средней плоскости колеса относительно червяка. В конструкциях червячных передач следует предусматривать возможность регулировки положения средней плоскости колеса относительно червяка. При монтаже это положение проверяют по пятну контакта.

Таблица 7

### Степень точности изготовления червячных передач

| Степень точности    | Скорость скольжения $v_s$ , м/с | Обработка деталей  | Область применения  |
|---------------------|---------------------------------|--|---|
| 6<br>(высокоточные) | Свыше 15                        | Червяк цементирован и закален, шлифован и полирован. Колесо нарезается шлифованными фрезами. Рекомендуется обкатка под нагрузкой | Передачи станков средней точности. Скоростные передачи регуляторов двигателей |
| 7<br>(точные)       | До 10                           | То же. При отсутствии чистовой отделки обкатка под нагрузкой обязательна   | Передачи с повышенными требованиями к габаритам и повышенными скоростями      |

Окончание табл. 7

| Степень точности           | Скорость скольжения $v_s$ , м/с | Обработка деталей  | Область применения   |
|----------------------------|---------------------------------|--|--|
| 8<br>(средней точности)    | До 5                            | То же, но допускается нешлифованный червяк при твердости не более 350 НВ | Среднескоростные передачи со средними требованиями к габаритам, шуму |
| 9<br>(пониженной точности) | До 2                            | Червяк не шлифуется. Колесо нарезается любым способом                    | Неответственные передачи, низкоскоростные и с ручным приводом        |

### 3. ПРИЧИНЫ ВЫХОДА ИЗ СТРОЯ ЧЕРВЯЧНЫХ ПЕРЕДАЧ. МАТЕРИАЛЫ

Основными причинами выхода из строя червячных передач являются заедание, износ и поверхностные разрушения зубьев колеса.

Заедание особенно опасно, если колеса изготовлены из твердых материалов (алюминиево-железистые бронзы, чугуны). В этом случае заедание происходит со значительным повреждением поверхности и последующим быстрым износом зубьев колеса частицами материала, приварившимися к червяку. При мягких материалах колес (оловяннистые бронзы) заедание наблюдается в менее опасной форме: материал колеса (бронза) «намазывается» на червяк.

Усталостное выкрашивание наблюдается главным образом в передачах с колесами, изготовленными из бронз, стойких против заедания.

Износ ограничивает срок службы большинства передач. Он очень сильно зависит от условий и качества смазки, точности монтажа, шероховатости поверхности червяка. Вследствие этого материалы червячной пары должны обладать износостойкостью, пониженной склонностью к заеданию, хорошей прирабатываемостью и повышенной теплопроводностью.

**Червяки** современных передач изготавливают из углеродистых или легированных сталей. Наилучшее качество работы червячной передачи обеспечивают червяки, изготовленные из цементируемых сталей марок 15Х, 20Х, 12Н3А, 18ХГТ, 20ХФ с твердостью после термообработки HRC 58...63 или среднеуглеродистых и легированных сталей марок 45; 40Х; 38ХГН; 40ХН с поверхностной или объемной закалкой до твердости HRC 50...55. При этом необходима высокая степень класса шероховатости рабочих поверхностей червяка, которая достигается шлифованием и полированием. Такие червяки обеспечивают меньший износ рабочих поверхностей зубьев колеса, большую стойкость против заедания и более высокий КПД.

Чугунные червяки, применяют в тихоходных вспомогательных и малоагруженных передачах.

**Венцы червячных колес** выполняют из антифрикционных материалов. Все применяемые для червячных колес материалы можно условно разделить на три группы в зависимости от их склонности к заеданию (см. табл. 8).

Таблица 8  
Механические характеристики материалов  
венца червячных колес

| Группа | Материал             | Способ отливки | Механические характеристики, МПа |            |                | Скорость скольжения $v_s$ , м/с |
|--------|----------------------|----------------|----------------------------------|------------|----------------|---------------------------------|
|        |                      |                | $\sigma_B$                       | $\sigma_T$ | $\sigma_{BII}$ |                                 |
| 1      | <i>Бр 010Н1Ф1</i>    | Ц              | 285                              | 165        |                | $\leq 35$                       |
|        | <i>Бр 010Ф1</i>      | К              | 275                              | 200        |                | $\leq 25$                       |
|        |                      | З              | 230                              | 140        |                |                                 |
|        | <i>Бр 05Ц5С5</i>     | К              | 200                              | 90         |                | $\leq 25$                       |
|        |                      | З              | 145                              | 80         |                |                                 |
| 2      | <i>Бр 06Ц3С</i>      | З              | 180                              | 90         |                | $\leq 12$                       |
|        |                      | К              | 200                              | 90         |                |                                 |
| 3      | <i>Бр Су7Н2</i>      | —              | 180                              | —          |                | $\leq 25$                       |
|        | <i>Бр А9Ж4</i>       | З              | 400                              | 200        |                |                                 |
|        |                      | К, Ц           | 500                              | 200        |                |                                 |
|        | <i>Бр А10Ж4Н4</i>    | Ц              | 700                              | 460        |                |                                 |
|        |                      | К              | 650                              | 430        |                |                                 |
| 2      | <i>Бр А10Ж3Мц1,5</i> | К              | 550                              | 360        |                | $\leq 5$                        |
|        |                      | З              | 450                              | 300        |                |                                 |
|        | <i>Бр А9Ж3Л</i>      | Ц              | 530                              | 245        |                |                                 |
| 2      |                      | К              | 500                              | 230        |                |                                 |
|        |                      | З              | 425                              | 195        |                |                                 |
|        | <i>ЛЦ23А6Ж3Мц2</i>   | Ц              | 500                              | 330        |                |                                 |
| 2      |                      | К              | 450                              | 295        |                |                                 |
|        |                      | З              | 400                              | 260        |                |                                 |
|        | <i>ЛЦ58Мц2С2</i>     | З              | 340                              | 140        |                |                                 |
| 2      | <i>ЛЦ58Мц202С2</i>   | З              | 500                              | 380        |                |                                 |
|        | <i>СЧ 18</i>         | З              |                                  |            | 355            | $\leq 2$                        |
|        | <i>СЧ 15</i>         | З              |                                  |            | 315            | $\leq 3$                        |
| 3      | <i>СЧ 12</i>         | З              |                                  |            | 280            | $\leq 3$                        |

Примечание. Принятые обозначения способов отливки:

Ц – центробежный; К – в кокиль; З – в землю.

**Группа 1.** Оловяннистые бронзы с пределом прочности на растяжение не более 300 МПа. Эти бронзы отличаются хорошими противозадирными свойствами, но вследствие дефицитности и высокой стоимости их следует применять в ответственных высокоскоростных передачах при скоростях скольжения  $v_s$  от 6 до 25 м/с. При отливке этих бронз в металлические формы (кокиль) или центробежным способом их механические свойства улучшаются.

**Группа 2.** Безоловяннистые бронзы и латуни с пределом прочности на растяжении более 350 МПа. Эти материалы имеют хорошие механические характеристики, дешевле оловяннистых бронз. Но обладают худшими антифрикционными свойствами и поэтому применяются при скоростях скольжения до 8 м/с.

**Группа 3.** Относительно мягкие серые чугуны. Применение этих материалов рекомендуется в пределах небольшой мощности с ручным приводом при  $v_s$  до 2 м/с.

**Выбор марки материала червячного колеса (венца)** производят в зависимости от скорости скольжения, которую, начиная проектный расчет, можно ориентировочно определить по формуле:

$$v_s = (3,7 \dots 4,6) \cdot 10^{-2} n_1 \sqrt[3]{T_2}, \quad (8)$$

где  $T_2 = 9,55 \cdot 10^6 P_2 / n_2$  – крутящий момент на валу колеса, Нмм.

#### 4. ДОПУСКАЕМЫЕ НАПРЯЖЕНИЯ

Особенности выбора допускаемых напряжений для червячных передач связаны с различной склонностью материалов к усталостному разрушению, заеданию, износу, с относительно малыми частотами вращения колес и высокими скоростями скольжения. Так, например, в передачах с колесами из оловяннистых бронз работоспособность ограничена контактной прочностью, а в передачах с колесами из безоловяннистых бронз и чугуна – заеданием.

Допускаемые напряжения определяют для зубчатого венца червячного колеса в зависимости от материала зубьев, твердости витков червяка, скорости скольжения и ресурса  $L_h$  [5] (см. табл. 9).

Таблица 9

## Допускаемые напряжения материалов венца червячного колеса

| Группа материалов | Червяк улучшенный<br>$H \leq 350\text{HB}$ | Червяк закален.<br>ТВЧ, $H \geq 45 \text{ HRC}$ | Нереверсивная передача                    | Реверсивная передача       |
|-------------------|--|---|---|----------------------------|
|                   | $[\sigma_h]$ , МПа                         |   | $[\sigma_F]$ , МПа                        |                            |
| 1                 | $0,75\sigma_b C_v k_{HL}$                  | $0,9\sigma_b C_v k_{HL}$                        | $(0,08\sigma_t + 0,25\sigma_\tau) k_{FL}$ | $0,16\sigma_b k_{FL}$      |
| 2                 | $250 - 25v_s$                              | $300 - 25v_s$                                   |   |                            |
| 3                 | $175 - 35v_s$                              | $200 - 35v_s$                                   | $0,12\sigma_{vi} k_{FL}$                  | $0,075 \sigma_{vi} k_{FL}$ |

Примечание.  $\sigma_t$ ;  $\sigma_b$ ;  $\sigma_{vi}$  – предел текучести, пределы прочности при растяжении и изгибе (см. табл. 8);  $v_s$  – скорость скольжения, м/с (9);  $C_v$  – коэффициент, учитывающий износ (см. табл. 10);  $k_{HL}$ ;  $k_{FL}$  – коэффициенты долговечности;

$$k_{HL} = \sqrt[8]{10^7 / N_{HE}}; \quad k_{FL} = \sqrt[9]{10^6 / N_{FE}}, \quad (9)$$

где  $N_{HE}$ ,  $N_{FE}$  – эквивалентные числа циклов нагружения червячного колеса:

при постоянной нагрузке

$$N_{HE} = N_{FE} = 60 L_h \cdot n_2, \quad (10)$$

при переменной нагрузке

$$N_{HE} = 60 \sum [(T_{2i} / T_2)^4 \cdot n_2 t_i] = 60 L_h n_2 \sum (\kappa_i^4 \alpha_i); \quad (11)$$

$$N_{HE} \leq 25 \cdot 10^7; \quad (11, a)$$

$$N_{FE} = 60 \sum [(T_{2i} / T_2)^9 \cdot n_2 t_i] = 60 L_h n_2 \sum (\kappa_i^9 \alpha_i); \quad (12)$$

$$10^6 \leq N_{FE} \leq 25 \cdot 10^7. \quad (12, a)$$

Кратковременные перегрузки, в том числе и пусковые, если суммарная продолжительность их действия составляет не более 3% суммарного рабочего времени ( $\alpha_i \leq 0,03$ ), при расчетах деталей машин на усталостную прочность не учитываются, то есть в формулах (11)–(12) принимают  $k_i = 0$ , но после выполнения расчетов на усталостную прочность необходим проверочный расчет на статическую прочность при кратковременных перегрузках.

Таблица 10

Значения коэффициента  $C_v$ , учитывающего износ

| $v_s$ | 1    | 2    | 3    | 4    | 5    | 6    | 7    | 8    |
|-------|------|------|------|------|------|------|------|------|
| $C_v$ | 1,33 | 1,21 | 1,11 | 1,02 | 0,95 | 0,88 | 0,83 | 0,80 |

## 5. ПРОЕКТНЫЙ РАСЧЕТ ПЕРЕДАЧИ

Червячные передачи рассчитывают на усталостную и статическую прочность зубьев червячного колеса по контактным напряжениям и напряжениям изгиба. Эти расчеты имеют условный характер, так как вследствие неблагоприятных условий смазки рабочих поверхностей червячной пары основное значение для работоспособности червячных передач приобретает стойкость зубьев колеса против заедания, пластического деформирования, износа. Учитывая, что стойкость против заедания и интенсивность износа зависят от контактной выносливости рабочих поверхностей, расчет по контактным напряжениям принят в качестве основного для передач редукторного типа с числами зубьев колеса меньше 90.

Для червячных передач с числами зубьев  $z_2 \geq 90$ , а также открытых передач и передач с ручным приводом проектный расчет выполняют из условия прочности зубьев на изгиб.

### 5.1. Определение межосевого расстояния

Из условия выносливости рабочих поверхностей определяют расчетное межосевое расстояние  $a'_w$  червячной передачи

$$a_w = 0,625 (q' / z_2 + 1) \sqrt[3]{E_{np} T_2 / \{[\sigma_H]^2 (q / z_2)\}}, \quad (13)$$

где  $q'$  – предварительно принятое значение коэффициента диаметра червяка (см. (5) и табл. 3);  $T_2$  – крутящий момент на валу червячного колеса, Н · мм

$$T_2 = 9,55 \cdot 10^6 P_2 / n_2 = 10^6 P_2 / \omega_2. \quad (14)$$

### 5.2. Определение ориентировочного значения модуля

Если работоспособность передачи определяется изгибной прочностью зубьев червячного колеса, то проектным расчетом определяют модуль

$$m' \geq 12,5 \sqrt[3]{Y_F T_2 / (z_2 q [\sigma_F])}, \quad (15)$$

где  $Y_F$  – коэффициент формы зуба червячного колеса, назначаемый по рекомендации табл. 11 в зависимости от числа зубьев  $z_{v2}$  эквивалентного колеса:

$$z_{v2} = z_2 / \cos^3 \gamma_w; \quad (16)$$

$$\gamma_w = \arctg(z_1 / (q + 2x)), \quad (17)$$

где  $\gamma_w$  – начальный угол подъема винтовой линии червяка

Таблица 11  
Значение коэффициента  $Y_F$  формы зубьев

| $z_{v2}$ | 20   | 24   | 26   | 28   | 30   | 32   | 35   | 37   | 40   | 45   | 50   | 60   | 80   | 100  | 150  |
|----------|------|------|------|------|------|------|------|------|------|------|------|------|------|------|------|
| $Y_F$    | 1,98 | 1,88 | 1,85 | 1,80 | 1,76 | 1,71 | 1,64 | 1,61 | 1,55 | 1,48 | 1,45 | 1,40 | 1,34 | 1,30 | 1,27 |

### 5.3. Определение основных геометрических параметров

Для назначенных основных параметров определяют геометрические размеры элементов зацепления (см. подраздел 2.5).

## 6. ПРОВЕРОЧНЫЙ РАСЧЕТ ПЕРЕДАЧИ

Проверочный расчет выполняется с учетом поправочных коэффициентов, которые не могли быть обоснованы ранее, и рассчитанных выше геометрических размеров передачи.

### 6.1. Проверка на выносливость рабочих поверхностей

Проверка на контактную выносливость рабочих поверхностей зубьев червячного колеса выполняется сравнением фактических  $\sigma_H$  и допускаемых  $[\sigma_H]$  контактных напряжений:

$$\sigma_H = 1,18 \sqrt{E_{np} T_2 K_n \cos^2 \gamma_w / (d_2^2 d_1 \delta \varepsilon_\alpha \xi \sin 2\alpha_w)} \leq [\sigma_H], \quad (18)$$

где  $K_n$  – коэффициент нагрузки;  $\varepsilon_\alpha$  – торцовый коэффициент перекрытия;  $\xi = 0,75$  – коэффициент, учитывающий уменьшение длины контактной линии в связи с тем, что соприкосновение осуществляется не по полной дуге обхвата ( $2\delta$ );  $\alpha_w = 20^\circ$  – угол зацепления.

### 6.1.1. Коэффициент нагрузки $K_H$

Коэффициент нагрузки в применении к червячным передачам определяют как произведение эффективного коэффициента концентрации нагрузки  $K_\beta$  на динамический коэффициент  $K_v$

$$K_H = K_F = K_\beta K_v . \quad (19)$$

Эффективный коэффициент концентрации нагрузки

$$K_\beta = 1 + (z_2 / \theta)^3 (1 - X) , \quad (20)$$

где  $\theta$  – коэффициент деформации червяка, зависящий от  $q$  и  $z_1$  (см. табл. 11);  $X$  – отношение средневзвешенного момента к максимальному

$$X = \sum \left( \frac{T_2}{T_{2i}} \cdot \frac{N_i}{N_\Sigma} \right) = \sum (k_i \cdot \alpha_i) , \quad (21)$$

где  $k_i$ ,  $\alpha_i$  – соответственно коэффициент уровня нагрузки и доля времени работы с этим уровнем нагрузки (см. исходные данные).

Таблица 12

Значение коэффициента  $\theta$  деформации червяка

| Число витков червяка<br>$z_1$ | Коэффициент деформации червяка $\theta$<br>при коэффициенте диаметра червяка $q$ |    |    |     |      |      |     |
|-------------------------------|--|----|----|-----|------|------|-----|
|                               | 7,1  | 8  | 9  | 10  | 11,2 | 12,5 | 14  |
| 1                             | 57   | 72 | 89 | 108 | 127  | 157  | 190 |
| 2                             | 45   | 57 | 71 | 86  | 102  | 125  | 152 |
| (3)                           | 40   | 51 | 61 | 76  | 89   | 110  | 134 |
| 4                             | 37   | 47 | 58 | 70  | 82   | 101  | 123 |

Динамический коэффициент  $K_v$  назначают по рекомендации табл. 13 в зависимости от принятой степени точности изготовления (см. п. 2.6.) и фактической скорости скольжения  $v_s$ , м/с

$$v_s = \frac{v_1}{\cos \gamma_w} = \frac{\pi d_{w1} n_1}{6 \cdot 10^4 \cos \gamma_w} . \quad (22)$$

Таблица 13

Значение динамического коэффициента  $K_v$ 

| Степень точности | Динамический коэффициент $K_v$ при скорости скольжения $v_s$ , м/с |           |           |           |          |          |
|------------------|--|-----------|-----------|-----------|----------|----------|
|                  | до 1,5   | свыше 1,5 | свыше 3   | свыше 7,5 | свыше 12 | свыше 18 |
| 6                | —  | —         | 1         | 1,1       | 1,3      | 1,4      |
| 7                | 1  | 1         | 1,1       | 1,2       | —        | —        |
| 8                | 1,0...1,1  | 1,1...1,2 | 1,2...1,3 | —         | —        | —        |
| 9                | 1,2...1,3  | —         | —         | —         | —        | —        |

### 6.1.2. Торцовый коэффициент перекрытия

$$\varepsilon_a = (\sqrt{0,03 z_2^2 + z_2 + 1} - 0,17 z_2 + 2,9) / 2,95. \quad (23)$$

Определение фактической скорости скольжения позволяет уточнить допускаемые контактные напряжения  $[\sigma_H]$  для материалов групп 2 и 3 (см. п. 4) и в случае необходимости произвести перерасчет. Отклонение  $\Delta \sigma_H$  действительных напряжений от допускаемых не более 4%

$$\Delta \sigma_H = \left| \frac{\sigma_H - [\sigma_H]}{[\sigma_H]} \cdot 100 \right| \leq 4\%. \quad (24)$$

### 6.2. Проверка прочности колеса на изгиб

Проверочный расчет зубьев червячного колеса на изгиб выполняется по формуле

$$\sigma_F = \frac{2T_2 \cdot K_F \cdot \cos \gamma_w \cdot Y_F}{1,3 m^3 z_2 q} \leq [\sigma_F]. \quad (25)$$

Значение коэффициента формы зубьев  $Y_F$  червячного колеса назначается по рекомендациям табл. 11 в зависимости от эквивалентного числа зубьев  $z_{v2}$  (см. формулы (20) – (21)).

### 6.3. Проверка передачи при перегрузках

При кратковременных перегрузках возможны значительные пластические деформации или хрупкое разрушение зубьев червячного колеса. Этого не будет при выполнении условий:

$$\sigma_{n \max} = \sigma_n \sqrt{T_{2 \max} / T_2} \leq [\sigma_{n \max}]; \quad (26)$$

$$\sigma_{F \max} = \sigma_F \sqrt{T_{2 \max} / T_2} \leq [\sigma_{F \max}], \quad (27)$$

где  $T_{2\max}$  – максимальный (пиковый) момент на червячном колесе при перегрузке, ( $T_{2\max} = k_1 T_2$ ), если характер изменения нагрузки задан циклограммой (см. п. 1) и  $T_{2\max} = T_{DB\max}$  и  $\eta$  при постоянной нагрузке;  $T_{DB\max}$  – максимальный момент двигателя;  $[\sigma_{h\max}]$ ;  $[\sigma_{F\max}]$  – предельные допускаемые напряжения.

Предельные допускаемые контактные напряжения для материалов группы 1 (мягких бронз с  $\sigma_B = 300$  МПа)

$$[\sigma_{h\max}] = 4\sigma_T, \quad (28)$$

для материалов группы 2 (твердых бронз и латуней с  $\sigma_B \geq 350$  МПа)

$$[\sigma_{h\max}] = 2\sigma_T, \quad (29)$$

для материалов группы 3 (чугунов)

$$[\sigma_{h\max}] = 1,65 \sigma_{VI}. \quad (30)$$

Предельные допускаемые напряжения изгиба для бронз и латуней (материалы групп 1 и 2)

$$[\sigma_{F\max}] = 0,8\sigma_T; \quad (31)$$

для чугунов (материалы группы 3)

$$[\sigma_{F\max}] = 0,6\sigma_{VI}. \quad (32)$$

## 7. ПРОВЕРКА РЕДУКТОРА НА НАГРЕВ

Вследствие значительных потерь механической энергии в червячной передаче происходит нагревание деталей передачи и смазочного материала. В результате нагрева резко ухудшаются свойства смазочного материала, понижается КПД передачи, растет тепловыделение и возникает опасность заедания в зацеплении. Для предупреждения этого повреждения производится проверка редуктора на нагрев. Этот расчет выполняется после разработки конструкции корпуса редуктора.

### 7.1. Рабочая температура масла

Для червячных передач, работающих в непрерывном или повторно – кратковременном режиме без искусственного охлаждения, определяют рабочую температуру масла  $t_p$  и сравнивают с допустимой  $[t_{max}]$

$$t_p = t_0 + 10^3 (1-\eta) P_1 / [k_T A (1+\psi) \beta] \leq [t_{max}], \quad (33)$$

где  $t_0$  – температура окружающего воздуха,  $^{\circ}\text{C}$  (при отсутствии специальных указаний принимается равной  $20\ ^{\circ}\text{C}$ );  $k_T$  = коэффициент теплоизделия корпуса,  $\text{Вт}/(\text{м}^2 \cdot ^{\circ}\text{C})$  (при естественном охлаждении в зависимости от циркуляции воздуха в помещении и масла в масляной ванне  $k_T = (8,7 \dots 17,5) \text{ Вт}/(\text{м}^2 \cdot ^{\circ}\text{C})$ , большие значения  $k_T$  следует принимать при хорошей циркуляции воздуха, незагрязненной поверхности корпуса, отсутствии внутри него ребер, интенсивной циркуляции и малой вязкости масла;  $A$  - площадь свободной поверхности охлаждения корпуса, включая 70% площади поверхности ребер и бобышек,  $\text{м}^2$  (определяется либо непосредственным обмером разработанной конструкции, либо приближенно по зависимости):

$$A \approx 20 \cdot a_w^{1,7}, \quad (34)$$

где  $a_w$  – межосевое расстояние, м;  $\psi$  – коэффициент, учитывающий теплоотвод в раму или плиту фундамента (при прилегании корпуса по большой поверхности  $\psi = 0,3$ , при установке редуктора на бетонное основание его дно выключается из теплоотдачи и  $\psi = 0$ );  $\beta$  – коэффициент, учитывающий уменьшение тепловыделений в единицу времени цикла работы передачи за счет перерывов и снижения нагрузки

$$\beta = t / \sum (P_{2i} t_i / P_2) = 1 / \sum (\alpha_i k_i); \quad (35)$$

$\eta$  – КПД передачи (определение  $\eta$  см. п. 7.4).

Максимально допустимая температура нагрева масла в масляной ванне редуктора  $[t_{max}] \leq 95\ ^{\circ}\text{C}$ .

В случае невыполнения условия (33) должен быть предусмотрен отвод избыточной теплоты. Это достигается оребрением корпуса (если это ранее не предусматривалось), искусственной вентиляцией, установкой в масляной ванне змеевиков с охлаждающей жидкостью или другими устройствами.

## 7.2. Рабочая температура масла при наличии вентилятора

Рабочая температура при наличии вентилятора определяется из выражения

$$t_p = t_0 + \frac{10^3 (1-\eta) P_1}{[k_T (0,7 + \psi) + 0,3 k_{TB}] A} \leq [t_{max}], \quad (36)$$

где  $k_{TB}$  – коэффициент теплоотдачи части поверхности корпуса редуктора, обдуваемой вентилятором. Значение  $k_{TB}$  назначают в зависимости от частоты вращения вентилятора  $n_B$  (табл. 14).

Таблица 14  
Значение коэффициента теплоотдачи

| $n_B$ , об / мин                  | 750 | 1000 | 1500 | 3000 |
|-----------------------------------|-----|------|------|------|
| $k_{TB}$ , $\frac{Bm / m^2}{^oC}$ | 17  | 21   | 29   | 40   |

### 7.3. Количество тепла, отводимое змеевиком

При искусственном охлаждении редуктора с помощью змеевика с проточной водой количество тепла  $Q_{zm}$ , Вт, отводимое змеевиком за 1 секунду [9]

$$Q_{zm} = P_i(1 - \eta) \cdot 10^3 - k_T A(1 - \psi)(t_{max} - t_0), \quad (37)$$

Секундный расход воды  $W_{BD}$ , м<sup>3</sup>/с, необходимый для охлаждения

$$W_{BD} = Q_{zm} / (\rho_{BD} C_{BD} \cdot \Delta t_{BD}),$$

где  $\Delta t_{BD} = 2 \dots 10^0$  С – повышение температуры воды в змеевике;  $\rho_{BD} = 1000$  кг/м<sup>3</sup> – плотность воды;  $C_{BD} = 4,187 \cdot 10^3$  Дж/(кг · °С) – теплоемкость воды.

Температура воды при выходе из змеевика

$$t_2 = t_1 + \Delta t_{BD}, \quad (38)$$

где  $t_1$  – температура воды при входе в змеевик; обычно принимают  $t_1 = t_2 = 20$  °С.

Выбрав по табл. 15 наружный диаметр трубы  $d_h$ , находят скорость потока воды в трубе  $v_{BD}$ , м/с

$$v_{BD} = W_{BD} / \frac{\pi(d_h - 2\delta)^2}{4 \cdot 10^3}, \quad (39)$$

где  $\delta$  – толщина стенки трубы, мм.

Таблица 15  
Сортамент красномедных труб для змеевиков

|  |        |       |       |       |       |       |      |
|--|--------|-------|-------|-------|-------|-------|------|
| Наружный диаметр $d_h$ ,<br>мм (по ГОСТ 617-72)                        | 13     | 15    | 18    | 22    | 26    | 30    | 36   |
| Толщина стенки $\delta$ , мм   | 1,5    | 1,5   | 2,0   | 2,0   | 2,0   | 2,5   | 3,0  |
| Площадь наружной<br>поверхности 1 м<br>трубы $A_T$ , м <sup>2</sup> /м | 0,0041 | 0,047 | 0,056 | 0,069 | 0,082 | 0,094 | 0,13 |

Требуемая наружная поверхность охлаждения змеевика  $A_{zm}$ , м<sup>2</sup>

$$A_{zm} = Q_{zm} / (k_{zm} \cdot \Delta t_{cp}), \quad (40)$$

где  $\Delta t_{cp}$  – средний температурный перепад

$$\Delta t_{cp} = 0,5(t_2 - t_1) = 0,5\Delta t_{BD}; \quad (41)$$

$k_{zm}$  – коэффициент теплоотдачи змеевика, назначаемый по табл. 16.

Требуемая длина  $\ell$  трубы змеевика, м

$$\ell = A_{zm} / A_T . \quad (42)$$

Разработка конструкции змеевика производится в зависимости от размеров корпуса редуктора. Минимальный радиус оправки при изгибе красномедных труб на 180° рекомендуется принимать более 1,5  $d_h$ .

Таблица 16

Значение коэффициента теплоотдачи  $k_{zm}$  змеевика  
из красномедной трубы, Вт/ (м<sup>2</sup> · °C)

| Окружная скорость<br>червяка $v_1$ , м/с | Скорость воды $v_{BD}$ , м/с |     |     |
|--|------------------------------|-----|-----|
|  | 0,1                          | 0,2 | 0,4 |
| до 4                                     | 146                          | 157 | 165 |
| 4...6                                    | 153                          | 163 | 174 |
| 6...8                                    | 162                          | 174 | 186 |
| 8...10                                   | 168                          | 180 | 195 |
| 10...12                                  | 174                          | 186 | 203 |

## 7.4. Коэффициент полезного действия червячной передачи

После проведения проектного расчета определяют действительное значение КПД передачи

$$\eta = \eta_3 \eta_0 \eta_p \eta_v. \quad (43)$$

### 7.4.1. КПД червячного зацепления

КПД червячного зацепления определяется по формуле:

$$\eta_3 = \frac{\operatorname{tg} \gamma_w}{\operatorname{tg}(\gamma_w + \phi)}, \quad (44)$$

где  $\phi = \operatorname{arc} \operatorname{tg} f$  – приведенный угол трения. В табл. 17 приведены значения коэффициентов трения  $f$  и соответствующие им значения приведенных углов трения  $\phi$  с учетом потерь в подшипниках качения. Поэтому при определении КПД передачи по формуле (43) следует принять  $\eta_0 = 1$ .

Шероховатость поверхности витков червяка должна быть по  $R_a$  от 1,25 до 0,32 мкм по ГОСТ 2309 – 73.

Если проектируется самотормозящая передача, то необходимо выполнить условие

$$\gamma_w \leq \phi. \quad (45)$$

### 7.4.2. Определение коэффициента $\eta_p$

Коэффициент  $\eta_p$ , учитывающий потери мощности на разбрзгивание и размешивание смазки

$$\eta_p = 1 - 0,75 \nu b \sqrt{\nu_t \nu} / (10^3 P_t), \quad (46)$$

где  $\nu$  – окружная скорость погруженной в масло нарезанной части червяка  $\nu_1$  или червячного колеса  $\nu_2$ , м/с

$$\nu_1 = \frac{\pi d_1 n_1}{60 \cdot 1000}; \quad (47)$$

$b$  – длина нарезанной части червяка  $b_1$  или ширина венца  $b_2$ , мм (см. табл. 6);  $\nu_t$  – кинематическая вязкость масла,  $\text{м}^2/\text{с}$  (см. табл. 18 и 19).

Таблица 17

Значение коэффициента  $f$  и углов трения  $\phi$ 

| Скорость скольжения $v_s$ , м/с | Материал венца червячного колеса      |          |                  |          |               |           |               |           |                  |           |
|---------------------------------|---------------------------------------|----------|------------------|----------|---------------|-----------|---------------|-----------|------------------|-----------|
|                                 | Группа 1                              |          | Группа 2         |          | Группа 3      |           |               |           |                  |           |
|                                 | Твердость поверхностей витков червяка |          |                  |          |               |           |               |           |                  |           |
|                                 | HRC $\geq 45$                         |          | Остальные случаи |          | HRC $\geq 45$ |           | HRC $\geq 45$ |           | Остальные случаи |           |
|                                 | $f$                                   | $\phi$   | $f$              | $\phi$   | $f$           | $\phi$    | $f$           | $\phi$    | $f$              | $\phi$    |
| 0,01                            | 0,110                                 | $6^017'$ | 0,120            | $6^051'$ | 0,180         | $10^012'$ | 0,180         | $10^012'$ | 0,190            | $10^045'$ |
| 0,05                            | 0,090                                 | $5^009'$ | 0,100            | $5^043'$ | 0,140         | $7^058'$  | 0,140         | $7^058'$  | 0,160            | $9^005'$  |
| 0,10                            | 0,080                                 | $4^034'$ | 0,090            | $5^009'$ | 0,130         | $7^024'$  | 0,130         | $7^024'$  | 0,140            | $7^058'$  |
| 0,25                            | 0,065                                 | $3^043'$ | 0,075            | $4^017'$ | 0,100         | $5^043'$  | 0,100         | $5^043'$  | 0,120            | $6^051'$  |
| 0,50                            | 0,055                                 | $3^009'$ | 0,065            | $3^043'$ | 0,090         | $5^009'$  | 0,090         | $5^009'$  | 0,100            | $5^043'$  |
| 1,0                             | 0,045                                 | $2^035'$ | 0,055            | $3^009'$ | 0,070         | $4^000'$  | 0,070         | $4^000'$  | 0,090            | $5^009'$  |
| 1,5                             | 0,040                                 | $2^017'$ | 0,050            | $2^052'$ | 0,060         | $3^026'$  | 0,060         | $3^026'$  | 0,080            | $4^034'$  |
| 2,0                             | 0,035                                 | $2^000'$ | 0,045            | $2^035'$ | 0,055         | $3^009'$  | 0,055         | $3^009'$  | 0,070            | $4^000'$  |
| 2,5                             | 0,030                                 | $1^043'$ | 0,040            | $2^017'$ | 0,050         | $2^052'$  | —             | —         | —                | —         |
| 3                               | 0,028                                 | $1^036'$ | 0,035            | $2^000'$ | 0,045         | $2^035'$  | —             | —         | —                | —         |
| 4                               | 0,024                                 | $1^022'$ | 0,031            | $1^047'$ | 0,040         | $2^017'$  | —             | —         | —                | —         |
| 5                               | 0,022                                 | $1^016'$ | 0,029            | $1^040'$ | 0,035         | $2^000'$  | —             | —         | —                | —         |
| 8                               | 0,018                                 | $1^002'$ | 0,026            | $1^029'$ | 0,030         | $1^043'$  | —             | —         | —                | —         |
| 10                              | 0,016                                 | $0^055'$ | 0,024            | $1^022'$ | 0,025         | $1^026'$  | —             | —         | —                | —         |
| 15                              | 0,014                                 | $0^048'$ | 0,020            | $1^009'$ | —             | —         | —             | —         | —                | —         |
| 24                              | 0,013                                 | $0^045'$ | —                | —        | —             | —         | —             | —         | —                | —         |

При больших окружных скоростях червяка ( $v_1 > 5$  м/с) рекомендуется червяк располагать над колесом, а при  $v_1 \geq 10$  м/с принять циркуляционную смазку поливанием.

Таблица 18  
Кинематическая вязкость масла

| Скорость скольжения $v_s$ , м/с   | (0...1)*    | (0...2,5)*  | (0...5)**   | 5...10                  | 10...15            | 15...25 | Свыше 25 |
|---|-------------|-------------|-------------|-------------------------|--------------------|---------|----------|
| Кинематическая вязкость масла $v_t \cdot 100^{-6}$ м <sup>2</sup> /с при 50 <sup>0</sup> C (при 100 <sup>0</sup> C) | 450<br>(55) | 300<br>(35) | 180<br>(20) | 120<br>(12)             | 80<br>-            | 65<br>- | 65<br>-  |
| Способ смазки   | Окунанием   |             |             | Струйный или окурнанием | Под давлением, МПа |         |          |
|   |             |             |             |                         | 0,07               | 0,20    | 0,30     |

\* – тяжелые условия работы; \*\* – средние условия работы.

Коэффициент  $\eta_{\nu}$ , учитывающий потери мощности на привод вентилятора

$$\eta_{\nu} = 1 - (4,5 D_B^5 / 10^{14} P_1) / (n_1 / 1500)^3, \quad (48)$$

где  $D_B$  – наружный диаметр крыльчатки вентилятора, мм

$$D_B \approx (0,6...0,8) d_2. \quad (49)$$

**Таблица 19**  
Масла, применяемые в червячных передачах

| Масло   | Вязкость масла при $t = 0^\circ\text{C}$ $\nu_t \cdot 10^{-6}$ , $\text{м}^2/\text{с}$ |     |     |     |     |    |     |     |
|---|--|-----|-----|-----|-----|----|-----|-----|
|   | 40   | 50  | 60  | 70  | 80  | 90 | 100 | 110 |
| Цилиндровое 24 (вискозин)                             | 550  | 270 | 140 | 76  | 48  | 35 | 24  | 17  |
| Цилиндровое 52 (вапор)                                | 1400   | 680 | 360 | 200 | 129 | 78 | 56  | 38  |
| Трансмиссионное автотракторное летнее (нигрол летний) | 850  | 400 | 220 | 95  | 65  | 47 | 32  | 23  |
| Трансмиссионное с присадкой, летнее                   | 850  | 400 | 220 | 95  | 65  | 47 | 32  | 23  |
| Тракторное АК-15 (автол 18)                           | 230  | 115 | 70  | 43  | 28  | 22 | 16  | 12  |
| Автотракторное АКЗп – 10                              | 68   | 44  | 30  | 22  | 16  | 13 | 9   | 4   |

## 8. УСИЛИЯ В ЗАЦЕПЛЕНИИ

Силу  $F_n$  нормального давления зубьев червячного колеса на витки червяка можно разложить на составляющие (рис. 3):

$F_{t2}$  – окружная сила на колесе, равная осевой силе на червяке  $F_{a1}$ , Н

$$F_{t2} = F_{a1} = 2 \cdot 10^3 T_2 / d_2, \quad (50)$$

$F_{t1}$  – окружная сила на червяке, равная осевой силе на колесе  $F_{a2}$ , Н

$$F_{t1} = F_{a2} = F_{t2} \cdot \operatorname{tg}(\gamma_w + \varphi), \quad (51)$$

$F_{r2}$  – радиальные силы на колесе и червяке, Н

$$F_{r2} = F_{r1} = F_{t2} \cdot \operatorname{tg} \alpha_w. \quad (52)$$

где  $\alpha_w$  – профильный угол в осевом сечении. Для передач с архимедовым и конволютным червяком  $\alpha_w = 20^\circ$ .

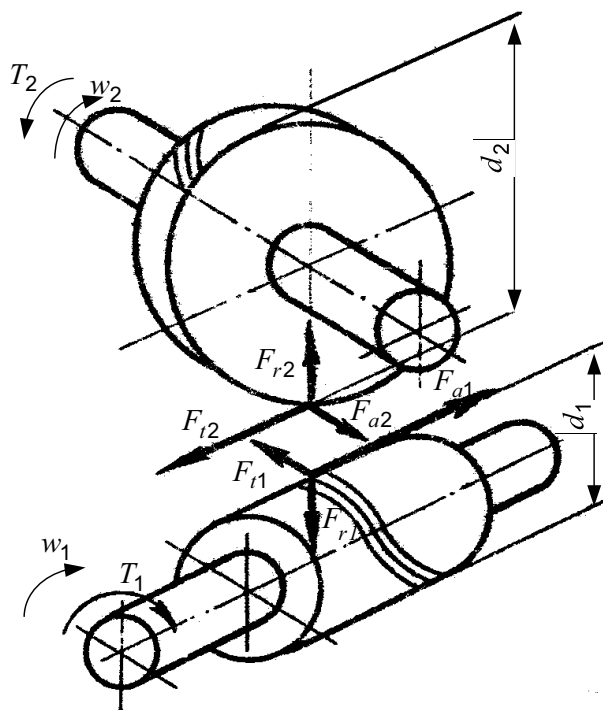


Рис. 3. Схема усилий в зацеплении

## 9. КОНСТРУИРОВАНИЕ ЧЕРВЯЧНЫХ КОЛЕС И ЧЕРВЯКОВ

В целях экономии дорогостоящих антифрикционных материалов **червячные колеса** чаще всего изготавливают составными: центр из серого чугуна или стали, зубчатый венец – из бронзы. Соединение венца с центром должно обеспечить передачу большого крутящего момента. Конструкция колеса и способ соединения зависит от объема выпуска и диктуеться экономической целесообразностью. При *индивидуальном и мелкосерийном производстве* и небольших размерах колес ( $d_{am2} < 300$  мм) зубчатые венцы соединяют с центром посадкой с натягом. При постоянном направлении вращения червячного колеса на наружной поверхности центра делают буртик, воспринимающий осевую силу. В соединениях с относительно небольшим натягом между центром и венцом устанавливают винты. При больших размерах колес ( $d_{am2} \geq 300$  мм) крепление венца к центру можно осуществлять болтами (рис. 4, в), поставленными без зазора. Необходимо в этом случае надежное стопорение гайки от самоотвинчивания. Пружинные шайбы применять не рекомендуется.

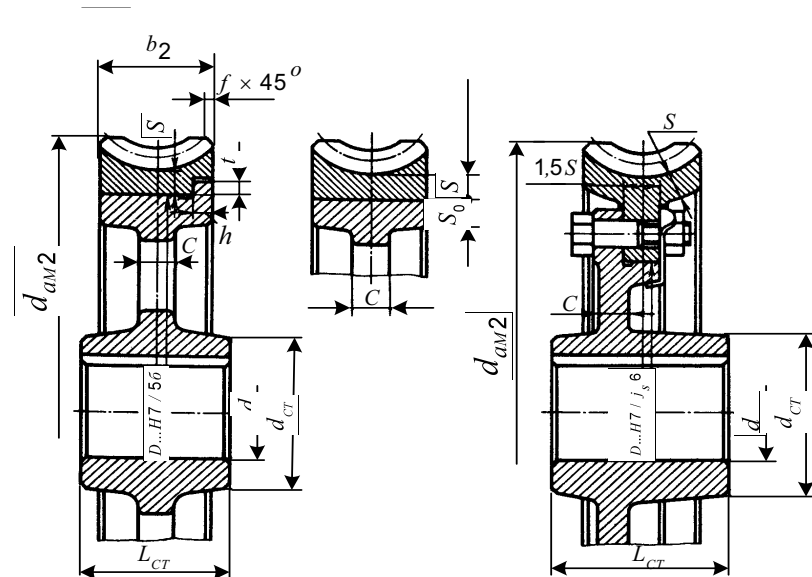


Рис. 4. Конструкция червячных колес  
в мелкосерийном производстве

Вследствие малой частоты вращения червячных колес, их балансировку не проводят. Поэтому нерабочие поверхности оставляют необработанными. Острые кромки на торцах винта притупляют фасками  $f \approx 0,5\text{мм}$  с округлением до стандартного значения. Размеры других конструктивных элементов:

$$S \approx 2\text{мм} + 0,05 b_2; \quad S_0 \approx 1,25; \quad C = (1,2 \dots 1,3) S_0; \quad h \approx 0,15 b_2; \quad t \approx 0,8 h.$$

*При серийном производстве* экономически выгодно применять наплавленный венец. При этом снижаются требования к точности обработки сопрягаемых поверхностей венца и центра, не требуется крепление винтами, не нужны прессы для их соединения. Для этого центр колеса, нагретый до  $700 \dots 800^\circ\text{C}$ , закладывают в металлическую форму (кокиль), который перед заливкой расплавленной бронзой подогревают до  $150 \dots 200^\circ\text{C}$ . После заливки и остывания между центром и венцом возникает натяг, вызываемый усадкой затвердевающего жидкого металла венца. Для улучшения сцепления венца с центром обод последнего выполняют по одному из вариантов рис. 5.

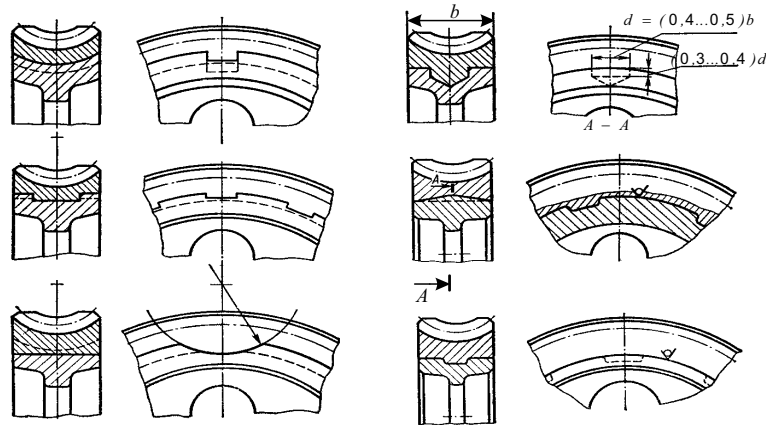


Рис. 5. Конструкция червячных колес  
в серийном производстве

Толщину  $S$  наплавленного венца принимают:  $S = 2m$ .

**Червяки** чаще всего выполняют вместе с валом. При конструировании червяка желательно предусматривать свободный выход инструмента при нарезании и шлифовании витков и необходимую величину упорного заплечика для подшипников (рис. 6).

На рис. 6, а, б диаметр вала червяка перед нарезанной частью удовлетворяет условию свободного выхода инструмента при обработке витков. При относительно малом диаметре червяк приходится выполнять по рис. 6, в. Для выхода инструмента длину нарезанной части с каждой стороны червяка необходимо увеличить на (2...3)  $m$ .

**Рекомендации** по назначению допусков размеров, формы и расположения поверхностей деталей передачи, параметров шероховатостей поверхностей [12].

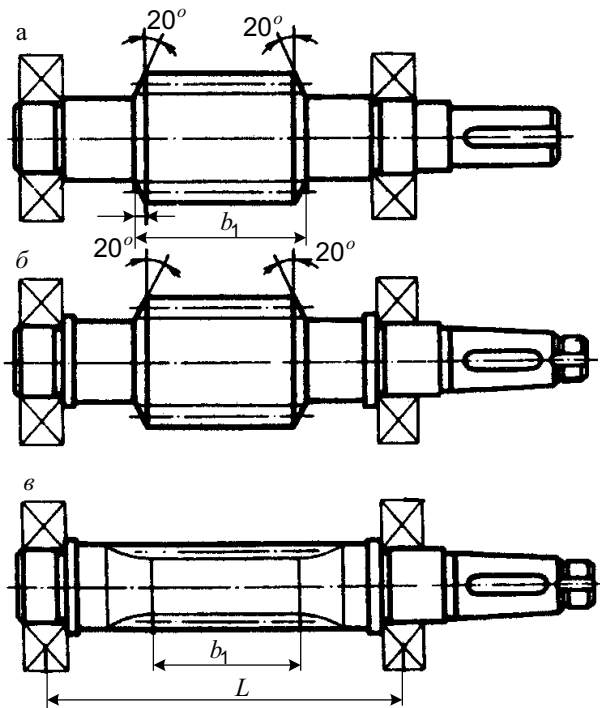


Рис. 6 Конструкция червяков

Таблица 20

## Допуски радиального биения заготовок червяка

| Степень<br>точности | Радиальное биение, мкм, заготовок червяка<br>при делительном диаметре $d_1$ , мм |           |           |            |            |            |
|---------------------|--|-----------|-----------|------------|------------|------------|
|                     | $\leq 30$  | $\leq 50$ | $\leq 80$ | $\leq 120$ | $\leq 180$ | $\leq 250$ |
| 6                   | 12   | 13        | 14        | 16         | 18         | 22         |
| 7                   | 17   | 18        | 20        | 22         | 25         | 30         |
| 8                   | 21   | 22        | 25        | 28         | 32         | 38         |
| 9                   | 26   | 28        | 32        | 36         | 40         | 48         |

Таблица 21

Шероховатость поверхностей,  $R_a$ , витков червяка

| Поверхность    | Степень точности червячной передачи |             |             |            |
|----------------|-------------------------------------|-------------|-------------|------------|
|                | 6                                   | 7           | 8           | 9          |
| Рабочая витков | 0,32...0,63                         | 0,32...0,63 | 0,63...1,25 | 1,25...2,5 |
| Вершин витков  | 1,25                                | 1,25...2,5  | 2,5         | 2,5        |

Рекомендации по назначению полей допусков и посадок деталей на вал червяка (подшипников, уплотнений), допусков форм и положения поверхностей входного участка вала червяка рассмотрены в [12].

Таблица 22

## Допуски радиального биения заготовок колеса

| Степень<br>точности | Радиальное биение заготовок червячного колеса, мкм,<br>при диаметре $d_2$ , мм |           |            |            |            |            |
|---------------------|--|-----------|------------|------------|------------|------------|
|                     | $\leq 50$  | $\leq 80$ | $\leq 120$ | $\leq 200$ | $\leq 320$ | $\leq 500$ |
| 6                   | 12   | 16        | 20         | 22         | 26         | 32         |
| 7                   | 20   | 25        | 32         | 36         | 42         | 50         |
| 8                   | 32   | 40        | 50         | 55         | 65         | 80         |
| 9                   | 50   | 60        | 80         | 90         | 105        | 120        |

Таблица 23

Отклонение  $f_x$  размера  $a$  червячного колеса

| Степень точности | Отклонение $\pm f_x$ , мкм, для межосевого расстояния $a_w$ , мм |            |            |            |            |            |
|------------------|--|------------|------------|------------|------------|------------|
|                  | $\leq 80$  | $\leq 120$ | $\leq 180$ | $\leq 250$ | $\leq 315$ | $\leq 400$ |
|                  | 6  | 22         | 25         | 28         | 32         | 36         |
| 7                | 34   | 40         | 45         | 50         | 56         | 60         |
| 8                | 53   | 43         | 71         | 80         | 90         | 100        |
| 9                | 85   | 100        | 110        | 130        | 140        | 150        |

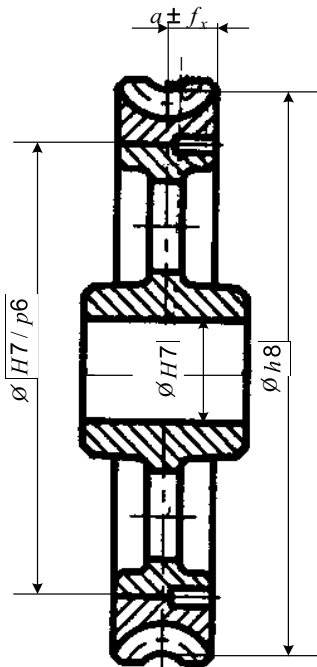


Таблица 24

Шероховатость поверхностей червячного колеса,  $R_a$ , мкм

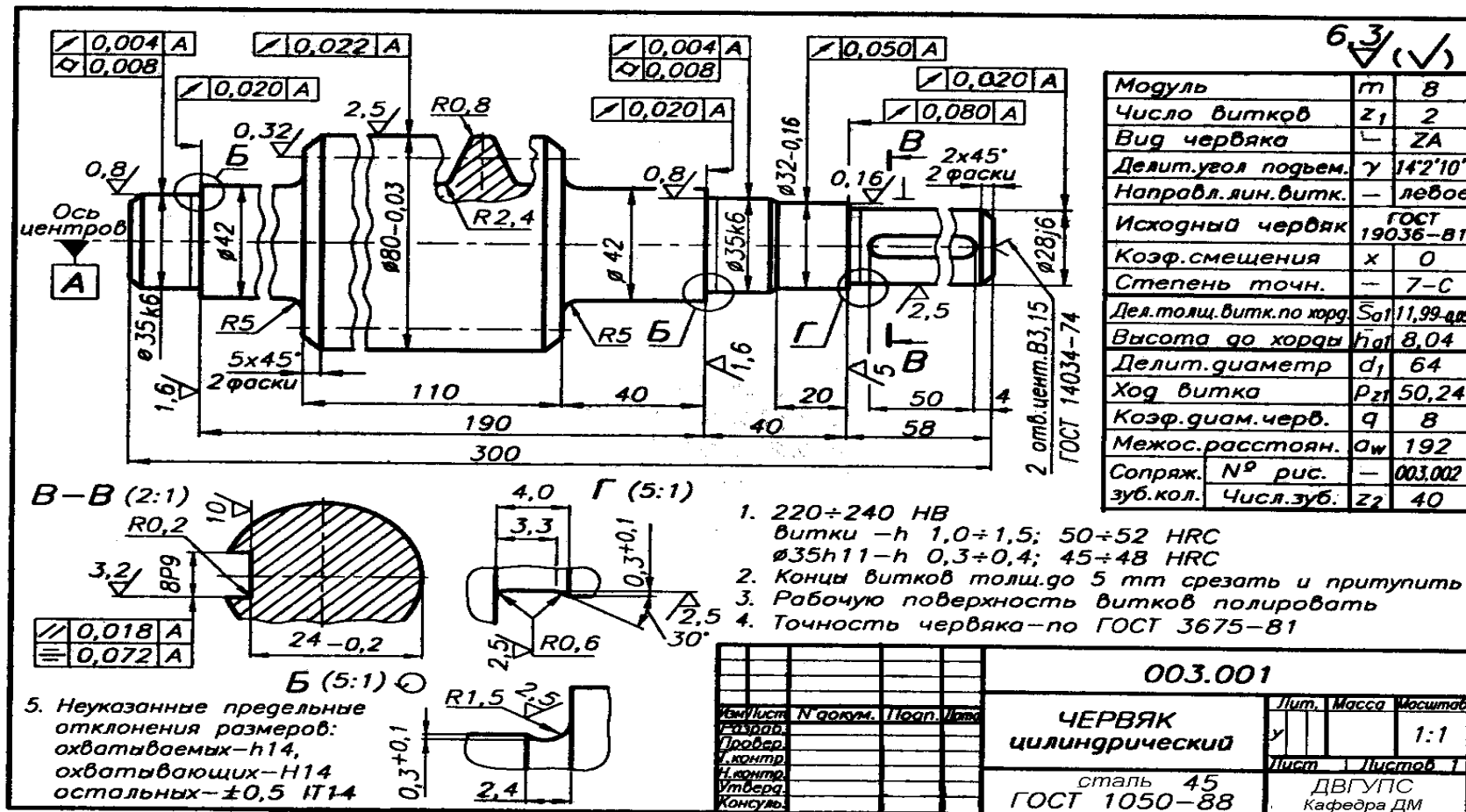
| Поверхность                                | Степень точности червячной передачи  |         |     |    |
|--|--|---------|-----|----|
|  | 6  | 7       | 8   | 9  |
| рабочая зубьев                             | 1,25   | 1,25    | 2,5 | 5  |
| вершин зубьев                              | 5  | 5...10  | 10  | 10 |
| боковая базовая венца (стуницы)            | 2,5  | 2,5...5 | 5   | 10 |
| Поверхность стуницы, сопряженная с валом – | для $d_{\text{вала}} \leq 80 \text{ мм} - 1,25 \dots 2,5 \text{ мкм}$<br>для $d_{\text{вала}} > 80 \text{ мм} - 2,5 \dots 5 \text{ мкм}$ |         |     |    |
| Другие необозначенные – 10 мкм             |  |         |     |    |

В приложениях А и Б приведены примеры оформления чертежей червяка и червячного колеса.

## **ПРИЛОЖЕНИЕ А**

(справочное)

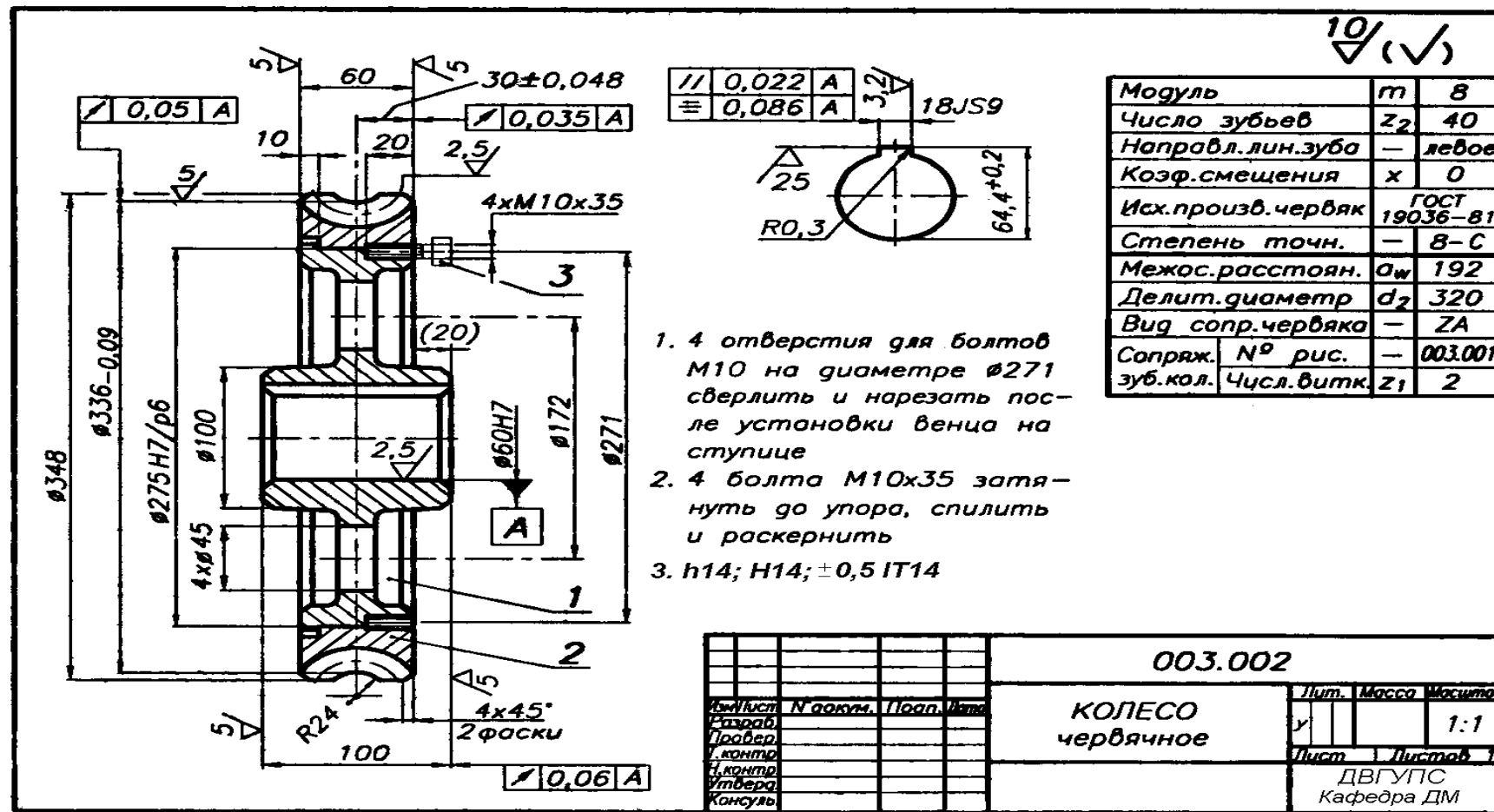
## ПРИМЕР ОФОРМЛЕНИЯ ЧЕРТЕЖА ЧЕРВЯКА



## **ПРИЛОЖЕНИЕ Б**

(справочное)

## ПРИМЕР ВЫПОЛНЕНИЯ ЧЕРТЕЖА ЧЕРВЯЧНОГО КОЛЕСА



## БИБЛИОГРАФИЧЕСКИЙ СПИСОК

1. ГОСТ 2144-93. Передачи червячные цилиндрические. Основные параметры. Введ. с 01.07.1977. – М. : Изд-во стандартов, 1980.
2. ГОСТ 19650-74. Передачи червячные цилиндрические. Расчет геометрии. Введ. с 01.01.1975. – М. : Изд-во стандартов, 1974.
3. Гост 19672-74. Передачи червячные цилиндрические. Модули и коэффициенты диаметра червяка. Введ. с 01.01.1976. – М. : Изд-во стандартов, 1984.
4. Гост 3675-81. Передачи червячные цилиндрические. Допуски. Введ. с 01.01.1982. – М. : Изд-во стандартов, 1986.
5. Иванов, М.Н. Детали машин : учеб. для студ. высш. техн. учеб. завед. – 5-е изд. перераб. – М. : Высш. шк., 1991. – 383 с.
6. Расчет и проектирование деталей машин : учеб. пос. для вузов / К.П. Жуков, А.К. Кузнецова, С.И. Масленникова и др.; Под ред. Г.Б. Столбина и К.П. Жукова. – М. : Высш. шк., 1978. – 247 с.
7. Шейнблит, А.Б. Курсовое проектирование деталей машин : учеб. пособие. Изд-е 2-е, перераб. и дополн. – Калининград : Янтар. сказ, 2002. – 454 с.
8. Проектирование механических передач: Учебно-справочное пос. для втузов / С.А. Чернавский, Г.А. Снесарев, Б.С. Козинцев и др. – 5-е изд. Перераб. и доп. – М. : Машиностроение, 1984. – 560 с.
9. Детали машин. Раздел «Расчет червячных передач редукторов». Методические указания по выполнению курсового проекта для студентов 4 курса специальностей Т, В, СМ. – Часть 4. – М.: ВЗИИТ, 1985.
10. Даньшин, Ю.В. Передачи червячные. Часть 1. Методические указания к курсовому проектированию / [Ю.В. Даньшин, В.В. Дрыгин]. – Изд-во ДВГУПС. – Хабаровск, 1995.
11. Дунаев, П.Ф. Конструирование узлов и деталей машин: Учеб. пособие для техн. спец. вузов. – 5-е изд., перераб. и доп. / [П.Ф. Дунаев, О.П. Леликов]. – М.: Высш. шк., 1998.
12. Курмаз, Л.В. Детали машин. Проектирование : учеб. пособие. – 2-е изд., испр. и доп. / [Л.В. Курмаз, А.Т. Скобеда]. – Мн. ; УП «Технопринт», 2002.

## **СОДЕРЖАНИЕ**

|   |    |
|---|----|
| ВВЕДЕНИЕ.....   | 3  |
| 1. ИСХОДНЫЕ ДАННЫЕ.....   | 3  |
| 2. ОСНОВНЫЕ ПАРАМЕТРЫ ЧЕРВЯЧНОЙ ПЕРЕДАЧИ.....                   | 4  |
| 3. ПРИЧИНЫ ВЫХОДА ИЗ СТРОЯ ЧЕРВЯЧНЫХ ПЕРЕДАЧ. ....              | 10 |
| МАТЕРИАЛЫ.....  |    |
| 4. ДОПУСКАЕМЫЕ НАПРЯЖЕНИЯ.....                                  | 12 |
| 5. ПРОЕКТНЫЙ РАСЧЕТ ПЕРЕДАЧИ.....                               | 14 |
| 6. ПРОВЕРОЧНЫЙ РАСЧЕТ ПЕРЕДАЧИ.....                             | 15 |
| 7. ПРОВЕРКА РЕДУКТОРА НА НАГРЕВ.....                            | 18 |
| 8. УСИЛИЯ В ЗАЦЕПЛЕНИИ .....                                    | 24 |
| 9. КОНСТРУИРОВАНИЕ ЧЕРВЯЧНЫХ КОЛЕС И ЧЕРВЯКОВ.....              | 25 |
| ПРИЛОЖЕНИЕ А. Пример оформления чертежа червяка.....            | 30 |
| ПРИЛОЖЕНИЕ Б. Пример оформления чертежа червячного колеса. .... | 31 |
| БИБЛИОГРАФИЧЕСКИЙ СПИСОК .....                                  | 32 |

Учебное издание  
**Дрыгин Владимир Васильевич**  
**Козерод Юрий Валерьевич**

**ПЕРЕДАЧИ ЧЕРВЯЧНЫЕ ЦИЛИНДРИЧЕСКИЕ**  
Расчет и проектирование

Методическое пособие

Технический редактор *О.В. Сенчихина*

*Отпечатано методом прямого репродуцирования*

---

План 2005 г. Поз. 1.10. ИД № 05247 от 2.07.2001 г.  
Сдано в набор 14.01.2005 г. Подписано в печать 31.05.2005 г.  
Формат 60×84<sup>1</sup>/<sub>16</sub>. Бумага тип. № 2. Гарнитура «Arial». Печать RISO.  
Усл. печ. л. 2,0. Зак. 114. Тираж 230 экз. Цена 14 р.

---

Издательство ДВГУПС  
680021, г. Хабаровск, ул. Серышева, 47.